

河床砂石礫の運動機構に関する研究（第2報）
—滑面水路における流砂量—

九州大学 正員 横東一郎
 " " 平野宗夫
 学生員 ○渡辺訓甫
 " " 栗林邦夫

1. 緒言

最近、鉱山、製造工場、建設業などで、固体を流水によって運搬する水力輸送が利用されるようになってきており、この方面からも流水中の固体の移動速度や堆積せずに流送する流砂量が問題になってしまっている。これらの研究の一歩として、我々は水路床の砂礫が1個の場合について、それが流水中で示す挙動について検討し、その移動速度と水理量との関係を調べた。しかし、実際には河床の砂礫は群をして移動しており、その場合についての検討が必要である。本文は、滑面水路における流砂の運動機構について検討して、新たに流砂量式を導き、過去の実験データと計算値とを比較して若干の考察を加えたものである。

2. 資料

滑面水路における堆積限界、流砂量については、今までに発表されている岩垣、嶋、Pedroli、早田による全資料を用いた。それらの項目は次のようである。

試料	水中比重 S	粒径 d	勾配 I
岩垣	砂	1.65	0.13, 0.0885, 0.052, 0.028, 0.019 0.002, 0.005, 0.01, 0.0333
嶋	"	1.65	0.0556, 0.0838, 0.2395 0.02, 0.01, 0.005, 0.0025
Pedroli	"	1.70	0.26, 0.52, 0.85, 0.89, 1.11 0.00104, 0.005, 0.0075, 0.01
早田	スケール	4.49	0.046, 0.23, 0.7 0.025, 0.0333

3. 砂礫の運動機構

水路上を単位面積あたり1個の砂礫粒が移動していくときには、水路床に働く全抵抗 ρU_*^2 は砂粒のうけた抵抗 D と乱れによる摩擦抵抗 ρU_*^2 とに分けられる。従って、流れを便宜上2つの層に分け、近似的に掃流層 ($0 \leq y \leq d$) の流れは U_* で規定され、掃流層外側 ($d \leq y \leq h$) の流れは U_* で規定されているとする。この考え方のもとに、河床における応力の平衡条件は

$$\rho U_*^2 = nD + \rho U_*'^2, \quad \rho: \text{水の密度}, \quad U_*': \text{摩擦速度}$$

ここで、抵抗 D は河床の動摩擦係数を μ' として、 $D = \mu' (P_s - P) \frac{\pi}{6} d^3 g$ とし、移動確率を P とすれば $n = P / \frac{\pi}{4} d^2$ と表わすから

$$U_*^2 = \frac{2}{3} \mu' s g d \cdot P + U_*'^2, \quad s = (P_s - P) / P, \quad P_s: \text{砂の密度} \quad (1)$$

流速分布は、上述の考え方から、滑面水路において

$$0 \leq y \leq d \quad \frac{U'}{U_*'} = A'_s + 5.75 \log_{10} \frac{U_*' y}{\nu} \quad (2)$$

$d \leq y \leq h$ では従来の分布式

$$\frac{U}{U_*} = 5.75 \log_{10} \frac{y}{y_0}$$

(1), (2)式より U'_s/U_* 及び分割層における流速 U_s' は

$$\frac{U'_s}{U_*} = \sqrt{1 - \frac{2}{3} \mu' \frac{sgd}{U_*^2} P}, \quad \frac{U_s'}{U_*} = A'_s + 5.75 \log_{10} \frac{U'_s d}{\nu}$$

これらから、流速分布を $y=d$ で接続すると、 $y>d$ における流速分布は次式のようになる。

$$\frac{U}{U_*} = (A'_s + 5.75 \log_{10} \frac{U'_s d}{\nu}) \sqrt{1 - \frac{2}{3} \mu' \frac{sgd}{U_*^2} P} + 5.75 \log_{10} \frac{y}{d} \quad (3)$$

ここで、平均流速を \bar{V} とすれば、流速係数 φ は、水深を h と

$$\varphi \equiv \frac{\bar{V}}{U_*} = \frac{1}{h} \int_0^h \frac{U}{U_*} dy = \frac{1}{h} \frac{U'_s}{U_*} \int_0^d (A'_s + \frac{1}{K} \log_e \frac{U'_s y}{\nu}) dy + \frac{1}{h} \int_d^h (A'_s + \frac{1}{K} \log_e \frac{y}{d}) dy$$

積分を計算し、常用対数に直し、揚力の無次元表示式を用いれば、

$$\varphi = (A'_s + 5.75 \log_{10} \frac{U'_s d}{\nu} - 2.5 \frac{d}{h}) \sqrt{1 - \frac{2}{3} \mu' \frac{P}{4h}} - 2.5(1 - \frac{d}{h}) + 5.75 \log_{10} \frac{h}{d}$$

従って、 P と φ の関係は次式で表わされる。

$$P = \frac{3}{2\mu'} \varphi \left[1 - \left\{ \frac{A'_s + 5.75 \log_{10} U_* d / \nu - 2.5 d / h}{\varphi - 5.75 \log_{10} h / d + 2.5(1 - d / h)} \right\}^2 \right] \quad (4)$$

今、砂粒の移動速度を U_g とすると、単位時間、単位幅あたりの流砂量 q_B は次式で与えられる。

$$q_B = n \cdot U_g \cdot \frac{\pi}{6} d^3$$

U_g としては、第1報で導いた球が1個の場合の移動速度式において、球に働く揚力、及びアグナス効果を無視すれば、簡単に

$$\frac{U_g}{U} = 1 - \sqrt{\frac{4}{3} \frac{\mu'}{C_D} \frac{sgd}{U^2}}, \quad C_D: 球の抵抗係数$$

と表わせる。従って、

$$\frac{q_B}{U_* d} = \frac{2}{3} P \cdot \varphi' \left(1 - \sqrt{\frac{4}{3} \frac{\mu'}{C_D} \frac{sgd}{U^2}} \right), \quad \text{ただし, } \varphi' = \frac{U}{U_*} = \frac{U}{U_*} \frac{U'_s}{U_*} = \frac{U'_s}{U_*} (A'_s + 5.75 \log_{10} \frac{U'_s d}{\nu})$$

となる。

$$\frac{U^2}{sgd} = \frac{U_*^2}{sgd} \left(\frac{U}{U_*} \right)^2 = \psi \cdot \varphi^2, \quad \frac{U_* d}{\nu} = \frac{U_* d}{\nu} \frac{U'_s}{U_*} = \frac{U_* d}{\nu} \sqrt{1 - \frac{2}{3} \mu' \frac{P}{4h}}$$

を変形して、

$$\frac{q_B}{U_* d} = \frac{2}{3} P \sqrt{1 - \frac{2}{3} \mu' \frac{P}{4h}} \cdot \left\{ A'_s + 5.75 \log_{10} \left(\frac{U_* d}{\nu} \sqrt{1 - \frac{2}{3} \mu' \frac{P}{4h}} \right) \right\} \left\{ 1 - \sqrt{\frac{4}{3} \frac{\mu'}{C_D} \frac{1}{4h} \frac{1}{\varphi'^2}} \right\} \quad (5)$$

を得る。上式の計算においては、第1報の結果を基にして、 $C_D=1.0$ 、 $\mu'=0.3$ なる値を用いた。更らに、流速係数 φ は、Pedroli の実験式を用いて、以下に示す方法で計算したものである。

$$\sqrt{\frac{I}{f}} = -2 \log_{10} \frac{d}{R_s} \left(\frac{1}{2} \frac{k}{d} + \frac{18.7}{\sqrt{8} \cdot 4 d u_* / v} \right) \frac{1}{7.4}$$

$$\frac{k}{d} = 0.444 \sqrt{\frac{I R_s I}{R_s d}} = 0.444 \sqrt{\frac{I \cdot S}{R_s} \cdot \frac{v^2}{d}}$$

従て、

$$\varphi = \frac{8}{\sqrt{f}} = -5.66 \log_{10} \frac{d}{R_s} \left(0.0182 \sqrt{S} \sqrt{\frac{v^2}{d}} + 0.223 \frac{v}{d \sqrt{S g d} \sqrt{\frac{v^2}{d}}} \right)$$

上式を用いれば、 φ を計算することができる。

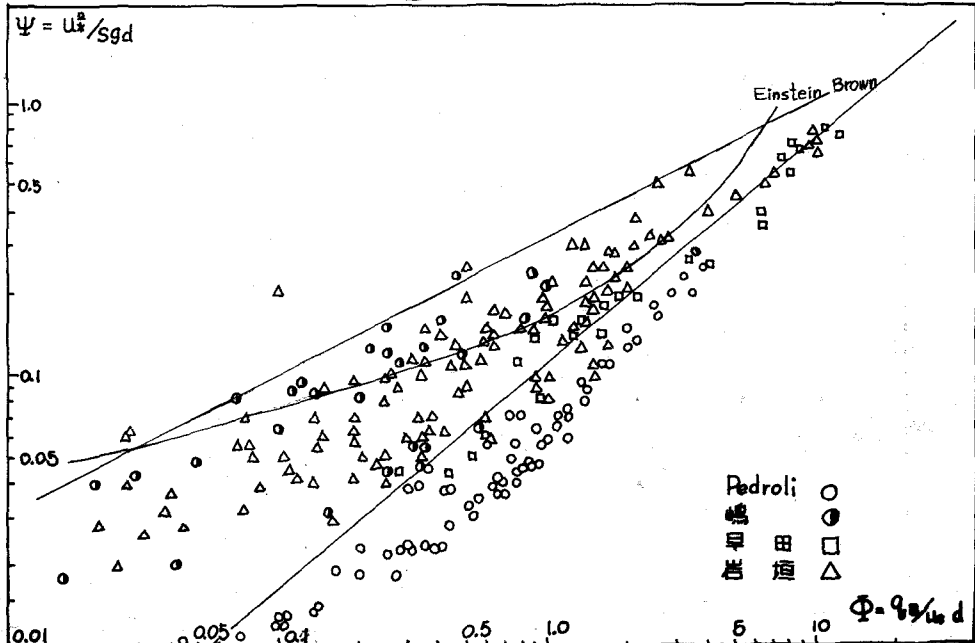
4. 考察

水路床が砂粒で構成された移動床水路における流砂量は、流砂量の強度と掃流力の無次元表示との関数として表示され、代表的な式としては、Brown 式 = 10^{20} や Einstein の式、土研式などがよく知られている。一方、滑面水路に堆積せずに流送される限界の流砂量についての前述の実験によると実験結果を重ねて点描するととき、図-Iで明らかのように、一般に、流砂量は移動床より大きく、その差異は粒径 d が大きい程、また、勾配 I が小さい程著しい事が知られている。

同式によると、 $u_* d / v = \frac{1}{2} \sqrt{8g d / v}$ に変換され、 $d / I = \frac{S}{I}$ であるから、重は坐標軸に $S/I \sqrt{8g d^3 / v}$ をパラメータとして含み、上述の実験結果を裏付けしている。 S, d, v はほぼ一定であるから、滑面水路においては、 d 及び I を与えて、重と坐標の関係を計算しなければならないし、実験と計算との比較も重ねて検討する事はできない。

計算の結果は図-IIに示すように、実験値と計算値は左下の散点を除けば割合よく合っている。特に Pedroli の実験値についてはかなりよく合う。これは、前に述べたように、計算過程で Pedroli の実験式を用いたためであろう。

図-I



f : 摩擦損失係数

R_s : 径源

k : 相対粗度

I : 損失水頭勾配

v : 水の単位重量

R_s : 砂の単位重量

岩盤の実験値についてみてみると、Pedroliの実験値とほぼ平行で、やや小さくなっているが、(4)式において、 P は μ' に逆比例し、かつ(5)式において、 g_0/U_{ed} は P に比例しているから、岩盤の場合は、ここで用いた $\mu' = 0.3$ が実際にはもっと小さい値であることが予想される。従って、また、Pedroliの場合には、 μ' が0.3にかなり近い値であったのであろう。相対粗度 a については、Pedroliのものを岩盤の場合に用いるのは問題があるし、その影響については、今後検討する必要がある。図-IIにあらわされているばらつきに影響を与えるパラメーターとしては、相対粗度 a 、動摩擦係数 μ' 、抵抗係数 C_d があげられるが、限界摩擦力の近くでは、(5)式から明らかのように、 $a\mu'$ と C_d の誤差の影響が重かって、強く効いてくる。図の左下の部分で、特にばらつきが大きくなっているのはこのためであると思われる。また、挿流力の大きいところでは、浮遊砂が入ってきてからために、最初の仮定が成立せず、従って、その附近においては(5)式を適用できない。

5. あとがき

以上、滑面水路においては、第3節に述べたような考え方から出発して一流砂量式を提案したが、絶局的には、粗面水路における流砂量を検討する必要があり、この問題は今後の大きな課題である。尚、本文における計算は試算によって行われたものであることを付け加えておく。

図-II

